

В.Б. Британ<sup>1</sup>, Р.М. Пелешак<sup>1</sup>, Д.І. Цюцюра<sup>1</sup>, Д.В. Корбутяк<sup>2</sup>

## Вплив обробки монокристалів $Cd_xZn_{1-x}Te$ у атмосфері водню на електрично-активні центри

<sup>1</sup>Дрогобицький державний педагогічний університет імені Івана Франка,  
вул. Івана Франка, 24, м. Дрогобич, 82100, e-mail: vbrytan@yandex.ru

<sup>2</sup>Інститут фізики напівпровідників НАН України, Київ-28, проспект Науки, 45

Досліджено вплив водню на електричні властивості монокристалів  $Cd_xZn_{1-x}Te$  ( $x = 0,9$ ). Показано, що в кристалах р-типу провідності водень пасивує дрібні акцепторні центри, в результаті чого зростає питомий опір в декілька порядків.

**Ключові слова:** монокристали, водень, пасивація, питомий опір.

Стаття поступила до редакції 07.07.2008; прийнята до друку 15.12.2008.

### Вступ

Напівпровідники  $Cd_xZn_{1-x}Te$  є перспективними для виготовлення приймачів енергії в  $\gamma$  і рентгенівській областях спектрів випромінювання.  $ZnTe$  і  $CdTe$  являються крайніми компонентами твердого розчину  $Cd_xZn_{1-x}Te$ , а тому властивості  $CdTe$  чи  $ZnTe$  поширюються і на тверді розчини  $Cd_xZn_{1-x}Te$ . Прилади, які побудовані на основі твердих розчинів  $Cd_xZn_{1-x}Te$ , повинні працювати у нормальних умовах у контакті із атмосферою кисню, водню азоту, тобто із складовими атмосфери. А тому важливою проблемою є дослідження природи дефектів, які істотно знижують вихід матеріалу для практичної потреби.

Останнім часом значна увага приділяється вивченню впливу водню на електрофізичні властивості напівпровідників. Водень володіє специфічною властивістю активно взаємодіяти з різними точковими дефектами і домішками і утворювати нейтральні комплекси (дефект-водень), що еквівалентно ефективному "очищенню" матеріалу. Ефект пасивації воднем у напівпровідниках приводить до їх електричної нейтральності домішок або дефектів [1-3], а це створює можливості отримувати напівпровідникові матеріали з меншою концентрацією домішково-дефектних центрів. При вивченні пасивації встановлено, що водень утворює складні молекули з домішками [1]. Роботи [4,5] присвячені дослідженню механізмів пасивації дефектів у  $CdTe$ . Зокрема, повідомляється про пасивацію дрібних акцепторних центрів у зразках р-типу. Воднева пасивація приводить до повного зникнення екситонного піку

внаслідок залишкового акцептора або і зменшення інтенсивності піку випромінювання мілких домішок [6,7]. Однак, атомний водень може пасивувати глибокі рівні в  $CdZnTe$  і  $CdHgTe$  [1,8]. Це може приводити до сильного збільшення в інтенсивності фотолумінесценції всіх переміщень екситонів. Тому дослідження взаємодії цих дефектів з воднем не тільки представляють науковий інтерес, але мають і практичне значення.

### I. Експериментальні результати досліджень структурної досконалості

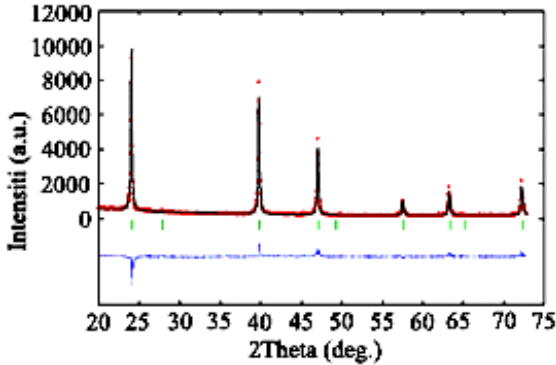
Для вирощування кристалів  $Cd_xZn_{1-x}Te$  була використана методика [9-11], яка дає змогу отримувати достатньо досконалі монокристали  $CdZnTe$ . Технологія базується на методі фізичного транспорту через газову фазу. Кристали були вирощені у вакуумованих кварцових ампулах із нелегованої шихти, і із шихти, синтезованої в атмосфері водню.

Рентгенівський фазовий та структурний аналізи монокристалів  $Cd_{0.1}Zn_{0.9}Te$ , вирощених методом сублімації, проводили методом порошкової рентгенівської дифракції на дифрактометрі ДРОН-3.0 з використанням  $Cu-K_{\alpha}$  – випромінювання, застосувавши покрововий режим у діапазоні кутів  $2\theta$  від 200-900. Уточнення дифрактограм проводили методом Рітвельда з використанням програми Fullprof [12].

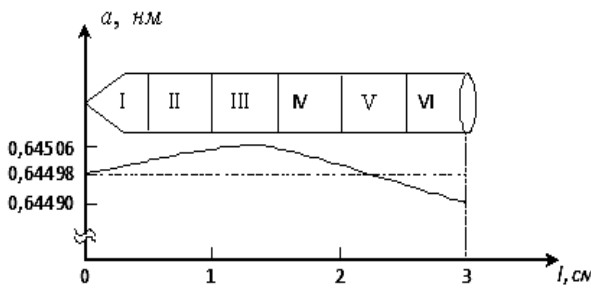
Аналіз рентгенівських дифрактограм для зразків

$Cd_{0.1}Zn_{0.9}Te$ , вирощених методом сублімації, виявив наявність тільки однієї фази виду структури  $ZnS$  – гранецентрована кубічна ґратка (г.ц.к.) в просторовій групі  $F-43m$ , де  $Te$  займає тетраедричні вузли  $4c$  з координатами  $(\frac{1}{4}, \frac{1}{4}, \frac{1}{4})$ , а  $Cd$  займає вузол  $4a$  з координатами  $(000)$ .

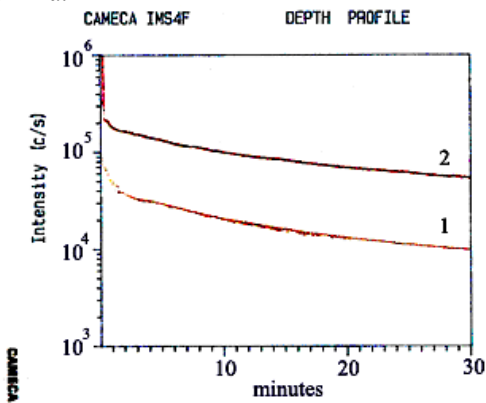
На рис. 1. подано результати експериментального



**Рис. 1.** Експериментальна (○), розрахункова (суцільна лінія) дифрактограми та різницевий (внизу) профіль рентгенівських максимумів у діапазоні  $20^{\circ} - 90^{\circ}$ .



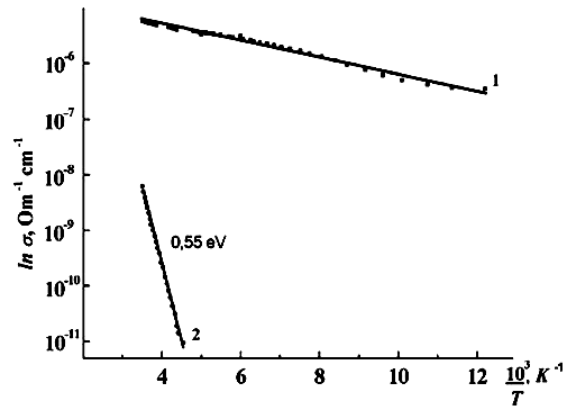
**Рис. 2.** Схематичний поділ кристалу по довжині зливка.



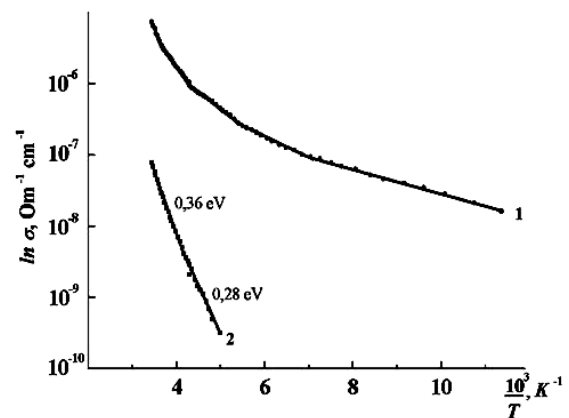
**Рис. 3.** Профіль розподілу водню для зразків  $Cd_xZn_{1-x}Te$ , оброблених у газовому розряді. 1 – зразок виколотий; 2 – зразок, був підданий хімічній-поліровці.

та теоретичного дослідження структурної досконалості зразка  $Cd_{0.1}Zn_{0.9}Te$ , вирощеного методом сублімації.

З рентгенівських дифрактограм було визначено параметри кристалічних ґраток ( $a = 0,64498(5)$  нм), які підтверджують факт



**Рис. 4.** Температурні залежності темнотної електропровідності  $Cd_xZn_{1-x}Te$ : 1 – вихідного зразка; 2 – зразка, обробленого у атмосфері водню при температурі  $400^{\circ}C$  на протязі 60 год.



**Рис. 5.** Температурні залежності електропровідності зразка  $Cd_xZn_{1-x}Te$ : 1 – вихідного зразка; 2 – зразка, обробленого в газовому розряді водню на протязі 1 год.

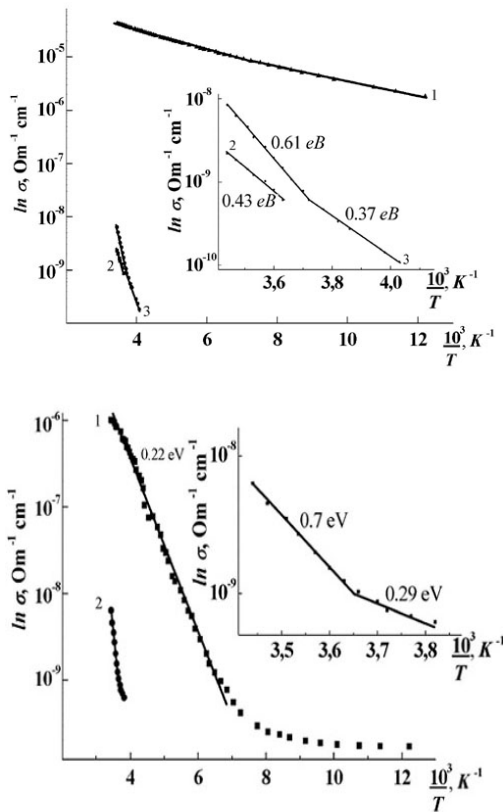
утворення твердих розчинів  $Cd_xZn_{1-x}Te$ , вирощених методом сублімації [13].

Контроль складу  $Cd_xZn_{1-x}Te$  по довжині і діаметру зливків (рис. 2.) проводився методом порошкової рентгенівської дифракції, описаним вище.

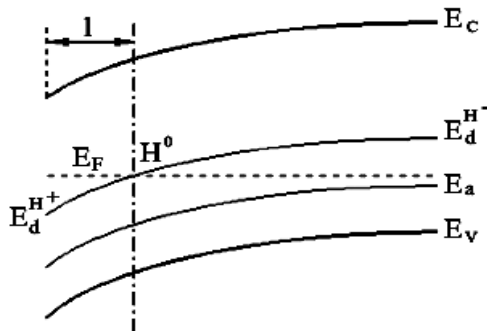
Період ґратки кристалу в різних частинах зразка практично не відрізняються. Різниця в 5 знаці пов'язана з точністю експерименту, а не з різницею в періодах ґратки, а це свідчить про високу однорідність кристалічного зливку за складом.

Кристали  $Cd_xZn_{1-x}Te$ , вирощені методом сублімації, піддавались різній водневій обробці. Після цього було проведено дослідження температурної залежності електропровідності зразків  $Cd_xZn_{1-x}Te$   $p$ -типу провідності, оброблених у водні при різних умовах. Зокрема, зразки  $Cd_xZn_{1-x}Te$  прогрівались в атмосфері водню при температурах в межах  $300 - 400^{\circ}C$ , а також водень вводився із газового розряду. На рис. 3. подано профіль розподілу водню для зразків  $Cd_xZn_{1-x}Te$ , оброблених у газовому розряді. Крива 1 для зразка, який був виколотий, а 2 – зразок був підданий хімічній-поліровці.

На рис. 4. приведено температурні залежності



**Рис. 6.** Температурні залежності електропровідності зразка  $Cd_xZn_{1-x}Te$ : 1 (а, б) – вихідні зразки; 2 (а, б) – перед витримкою в газовому розряді водню піддавався прогріванню у вакуумі при температурі  $600\text{ }^{\circ}C$  на протязі 15 год. 3 (а) – зразка, обробленого другий раз в газовому розряді водню 1,5 год.



**Рис. 7.** Зонна модель.

темнової електропровідності зразка  $p$ -типу з високою концентрацією акцепторів ( $A > D$ ). Зразок був витриманий у водні при температурі  $400\text{ }^{\circ}C$  на протязі 60 год. Як видно із рис. 4. (крива 2), після обробки зразка у водні електропровідність при  $300\text{ }^{\circ}C$  зменшилась більше, ніж на чотири порядки.

На рис. 5. наведено температурні залежності  $\sigma$  для зразка обробленого в газовому розряді водню на протязі 1 год.

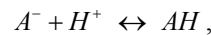
На рис. 6. представлено температурні залежності  $\sigma$  зразка, який перед витримкою в газовому розряді водню піддавався прогріванню у вакуумі при

температурі  $600\text{ }^{\circ}C$  на протязі 15 год. Як видно із рисунка (крива 2а, 2б), у зразках, які спочатку були оброблені у вакуумі, а потім у газовому розряді водню, відбувається досить значна пасивація електрично-активних центрів, оскільки електричний опір зріс на чотири порядки.

Зокрема, питомий опір досліджуваного зразка до прогрівання у вакуумі дорівнював  $10^4\text{ }\Omega \cdot cm$ , а після прогрівання він став більшим  $\sim 10^8\text{ }\Omega \cdot cm$ . При обробці зразків у водні без прогрівання у вакуумі такого рівня пасивації не досягалось. Переважно у високоомних компенсованих зразках опором більшим  $10^8\text{ }\Omega \cdot cm$  при обробці їх у водні не спостерігається істотного зростання опору, а навпаки – в більшості із них навіть зменшується.

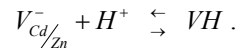
Як видно із рис. 5,6 пасивація спостерігається як у зразках з високою концентрацією акцепторів, так і в зразках, які прогріті у вакуумі. Зразки спеціально не леговані, а тому можна вважати, що основними центрами, які пасивуються в даному випадку, є структурні дефекти з енергією іонізації приблизно рівній  $0,06\text{ eV}$  та не контрольовані домішки. Під час прогрівання зразків у вакуумі основними дефектами, які при цьому утворюються, є вакансії в підгратці металу. В  $Cd_xZn_{1-x}Te$  це вакансії  $Cd$  і  $Zn$ , концентрація яких залежить від температури і часу прогрівання. Прогрівання  $Cd_xZn_{1-x}Te$  у водню сприяє також “очищенню” кристалів від міжвузлових електрично-активних центрів.

Для пояснення отриманих електричних властивостей скористаємось зонною схемою, яка представлена на рис. 7., де  $l$  – ширина області порушеного приповерхневого шару. Для пасивації необхідно, щоб рівень Фермі був розміщений нижче енергії рівня водню і вище енергії рівня акцептора. Така енергетична схема є сприятливою для іонізації водню і утворення позитивно іонізованих атомів водню  $H^+$ . Іони водню, взаємодіючи з іонізованими акцепторами за реакцією:

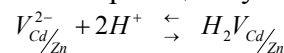


утворюють електрично-нейтральний комплекс.

У нашому випадку, акцепторами є вакансії  $Cd$  або  $Zn$ , а тому реакцією утворення комплексу є:



А у випадку двозарядного стану вакансії  $Cd$  або  $Zn$  реакцією утворення комплексу є



Отже, наведена модель пасивації енергетично активних домішково-дефектних центрів у напівпровіднику  $p$ -типу  $Cd_xZn_{1-x}Te$  задовільно узгоджується із експериментальними даними, отриманими із електричних вимірювань. Однак слід відмітити, що розмір області пасивації домішково-дефектних центрів у монокристалі залежить від способу введення водню в кристал. При вирощуванні кристалів у водню можна вважати, що водень в

цьому процесі вводиться в об'єм кристалу, що підтверджується продовженням зміни електричних властивостей вирощених зразків.

В кристалах, оброблених в газовому розряді водню, водень вводиться у кристал із поверхні зразка (рис. 7), що обмежує глибину дифузії водню і пасивація, домішково-дефектних центрів в основному відбувається у приповерхневому шарі, глибиною в декілька мікрометрів.

у плазмі зразках р-типу  $\text{Cd}_{0,1}\text{Zn}_{0,9}\text{Te}$  електричний опір зріс на чотири порядки. Це пояснюється тим, що домішки водню у кристалах р-типу  $\text{Cd}_{0,1}\text{Zn}_{0,9}\text{Te}$  виступають як іонізовані донори, які пасивують електрично-активні центри.

**Британ В.Б.** – викладач кафедри загальної фізики ДДПУ;

**Пелешак Р.М.** – доктор фіз.-матем. наук, професор;

**Цюцюра Д.І.** – кандидат фіз.-матем. наук, професор;

**Корбутяк Д.В.** – доктор фіз.-матем. наук, професор, зав. відділом.

## Висновки

Експериментально встановлено, що в оброблених

- [1] S.J. Pearton, J.W. Corbett, and M. Stavola. Hydrogen passivation of nitrogen acceptors confined in CdZnTe quantum well structures // *Springer Series in Materials Science 16* (Springer, New York, 1992).
- [2] J.I. Pankove and N.M. Jonson // *Semicond. Semimetals*, **34**(1991), 61, (1999).
- [3] S.J. Pearton, J.W. Corbett, and T.S. Shi. Hydrogen in crystalline semiconductors // *Appl. Phys. A: Solids Surf.*, **43**(153), (1987).
- [4] Hage-Ali M. and Siffert P. // *Nuclear Instruments and Methods in Physics Research*. **322**, P.313-323 (1992).
- [5] J. Hamann, D. Blaß, A. Burchard, C. Casimir, M. Deicher, T. Fils, R. Magerle, V. Oetheimer, C. Schmitz, H. Wolf, Th. Wichert. Hydrogen-related photoluminescence in CdTe // *Journal of Crystal Growth*, N184/185, P.1147-1150 (1998).
- [6] L. Svob and Y. Marfaing // *Solid State Commun*, **58**, 343 (1986).
- [7] J. Hamann. Hydrogen-related photoluminescence in CdTe // *Appl. Phys. Lett.* **72**, 554 (1998).
- [8] Y.F. Chen, C.S. Tsai, Y.H. Chang, Y.M. Chang, T.K. Chen, and Y.M. Pang. [Hydrogen passivation in CdZnTe studied by photoluminescence](#) // *Appl. Phys. Lett.* **58** (493), (1991).
- [9] В.Д. Попович, Г.М. Григорович, Р.М. Пелешак, П.М. Ткачук. Физические свойства полуизолирующих монокристаллов CdTe:Cl, выращенных из газовой фазы. // *ФТП*, **36**(6), сс. 674-678 (2002).
- [10] В.Б. Британ, О.М. Пігур, В.Д. Попович, Д.І. Цюцюра. Получение и электрические свойства кристаллов  $\text{Cd}_x\text{Zn}_{1-x}\text{Te}$ . // *Неорг. Матер.*, **41**(7), сс. 782-784 (2005).
- [11] V.D. Popovych, I.S. Virt, D.I. Tsutsura, Z.F. Tsybrii (Ivasiv), F.F. Sizov, O.A. Parfenjuk, M.I. Iashchuk. Characterization of the vapour grown CdTe crystals for high energy radiation detectors // *Phys. Stat. Sol.* **3**, pp. 717-721 (2006).
- [12] Rodriguez-Carvajal J. / *FULLPROF reference guide*. V **3.5**, Laboratorre Lein Brillouin (CEA-CNRS): France (1997).
- [13] В.Б. Британ, Д.І. Цюцюра, О.М. Пігур, І.В. Ковальчук, Р.В. Денис, С.Г. Крилюк. Про домішково-дефектні стани в  $\text{Cd}_x\text{Zn}_{1-x}\text{Te}$ , вирощених у різних умовах // *Електроніка*, **513**, сс. 108-112 (2004).

V.B. Brytan<sup>1</sup>, R.M. Peleshchak<sup>1</sup>, D.I. Tsiutsira<sup>1</sup>, D.V. Korbutyuk<sup>2</sup>

## The Effect of Treatment in Hydrogen Atmosphere on Electrically Active Centers in $\text{Cd}_x\text{Zn}_{1-x}\text{Te}$ Single Crystals

<sup>1</sup>Ivan Franko State Pedagogical University, 82100, Ukraine, Drohobych, 24 Franko str

<sup>2</sup>Institute of Semiconductor Physics NAN Ukraine, 45, Nauky Prosp., Kyiv, 03028, Ukraine

E-mail: vbrytan@yandex.ru

Influence of hydrogen on electric properties of  $\text{Cd}_x\text{Zn}_{1-x}\text{Te}$  ( $x = 0,9$ ) single crystals were investigated. It is retimed in the crystals of p-type hydrogen passivates shallow acceptors centers, which results to the resistivity increasing by several order.